

## О ВОЗМОЖНОСТИ ДИНАМИЧЕСКОЙ ПОЛЯРИЗАЦИИ ЯДЕР С ИСПОЛЬЗОВАНИЕМ ДИЭЛЕКТРИЧЕСКИХ ВАН-ФЛЕКОВСКИХ ПАРАМАГНЕТИКОВ

*М.С.Тагиров, Д.А.Таюорский<sup>1)</sup>*

*Казанский государственный университет*

*420008 Казань, Россия*

Поступила в редакцию 7 марта 1995 г.

Предлагается использовать ван-флековские парамагнетики, имеющие немагнитное основное состояние, для получения поляризации ядерных спинов. В качестве примера рассмотрен этилсульфат тулия, для которого выполнены расчеты штарковской структуры в сильных магнитных полях, резонансных магнитных полей для мощных импульсных линий газовых лазеров в субмиллиметровом диапазоне. Обсуждается возможность передачи поляризации ядер тулия ядрам жидкого гелия-3.

1. Системы с высокой поляризацией ядерных спинов являются объектами интенсивных исследований как в физике элементарных частиц, так и в физике твердого тела [1]. По сравнению с методом "грубой силы" (сверхсильные магнитные поля и сверхнизкие температуры) методы динамической поляризации ядер (ДПЯ) [1,2] являются более доступными. Один из методов ДПЯ – так называемый "солид-эффект" – основан на перенос поляризации от примесных парамагнитных центров к ядерной спиновой системе. В данной работе предлагается модификация этого метода с использованием ван-флековских парамагнетиков, в которых ван-флековские ионы расположены в узлах регулярной кристаллической решетки и действуют как парамагнитные центры при передаче поляризации ядрам.

2. Известно, что в кристаллах, содержащих редкоземельные ионы с четным числом электронов в  $4f$ -оболочке ( $\text{Pr}^{3+}$ ,  $\text{Eu}^{3+}$ ,  $\text{Tb}^{3+}$ ,  $\text{Ho}^{3+}$ ,  $\text{Tm}^{3+}$ ), основной мультиплет расщепляется кристаллическим полем так, что основное состояние является синглетом или немагнитным дублетом, отделенным от вышележащих уровней интервалом  $\Delta \approx 10 \div 100 \text{ см}^{-1}$  [3]. Ядерные спины ван-флековских ионов и диамагнитных атомов кристаллической решетки эффективно связаны с электронной оболочкой сверхтонким взаимодействием. Внешнее магнитное поле  $H_0$  индуцирует магнитный момент электронной оболочки в основном немагнитном состоянии. Однако передача поляризации электронной оболочки ядерным спинам при  $kT \ll \Delta$  невозможна из-за статического характера сверхтонкого поля. Поэтому применение солид-эффекта в данной ситуации означает, что необходимо перевести электронную оболочку в возбужденное состояние (в этом смысле "деполяризовать" ее), при релаксации из которого часть электронной поляризации будет переноситься в ядерную спиновую систему за счет сверхтонкого взаимодействия. На этом пути необходимо решить следующие проблемы. Во-первых, поскольку энергетический интервал между основным и возбужденным состояниями основного терма достаточно велик, то для возбуждения электронной оболочки требуется использование либо лазерного излучения в далекой инфракрасной области [4], либо тепловых

<sup>1)</sup>e-mail: mtagirov@phys.ksu.ras.ru, dima@phys.ksu.ras.ru

баллистических импульсов [5]. Во-вторых, существует утечка ядерной поляризации за счет процессов ядерной спин-решеточной релаксации. Обсудим последний фактор более подробно.

Кристаллы ван-флековских парамагнетиков содержат парамагнитные примеси ( $\text{Er}^{3+}$ ,  $\text{Yb}^{3+}$  и т. д.). Флуктуации магнитных полей этих примесных ионов обуславливают хорошо известный механизм ядерной спин-решеточной релаксации, скорость которой пропорциональна фактору  $1 - p_0^2$ , где  $p_0$  – поляризация парамагнитной примеси. Поэтому для уменьшения потерь за счет этого механизма релаксации необходимо использование высоких магнитных полей.

Кроме того, эффективное магнитное поле на ядре редкоземельного иона складывается из  $H_0$  и из сверхтонкого магнитного поля  $H_{hf}$ , которое параллельно внешнему полю и в  $\alpha$  раз больше его по величине (параметр  $\alpha$  называется парамагнитным сдвигом и имеет значения в интервале  $1 \div 300$ ). Сверхтонкое магнитное поле при температурах  $kT \ll \Delta$  имеет как постоянную составляющую, которая приводит к сдвигу частоты ЯМР, так и флуктуирующую составляющую за счет переходов  $4f$ -электронной оболочки в возбужденные состояния. Спектр термических флуктуаций сверхтонкого поля имеет отличную от нуля компоненту на резонансной частоте ядерных спинов  $\omega_n$  как ван-флековских ионов, так и диамагнитных атомов кристаллической решетки, в результате чего появляется эффективный канал ядерной спин-решеточной релаксации [6]. Для ядерных спинов  $I = 1/2$  скорость этой релаксации в диэлектрических ван-флековских парамагнетиках в приближении коротких времен корреляции флуктуаций сверхтонких полей  $\omega_n \tau_c \ll 1$  ( $\tau_c$  порядка  $10^{-10}$  с) дается выражением  $T_1^{-1} = (A + B\omega_n^2) \exp(-\Delta/kT)$  [6], где параметры  $A$  и  $B$  определяются строением кристаллической решетки. Этот механизм доминирует при температурах  $1 \div 2$  К при концентрациях парамагнитных примесей порядка 0,1%. В высоких магнитных полях эффективность релаксации за счет флуктуаций сверхтонких полей также уменьшается.

3. Использование высоких магнитных полей ( $> 50$  кЭ) приводит также к изменению интервалов между уровнями штарковской структуры ван-флековских ионов (см. п.4). С точки зрения эксперимента, это обстоятельство является чрезвычайно важным, так как позволяет с помощью магнитного поля добиваться совпадения расстояния между основным и возбужденным уровнями с энергией определенной линии лазерного излучения.

Однако для контроля возможности процесса ДПЯ с использованием ван-флековских парамагнетиков необходимо иметь информацию об ЭПР в таких высоких магнитных полях. К настоящему времени ЭПР на переходах между немагнитным основным состоянием и ближайшим возбужденным состоянием не наблюдался.

4. Проиллюстрируем возможности применения метода ДПЯ с использованием ван-флековских парамагнетиков на примере хорошо изученного кристалла этилсульфата тюлия  $\text{Tm}(\text{C}_2\text{H}_5\text{SO}_4)_3 \cdot 9\text{H}_2\text{O}$  (TmES) [3]. Зависимость штарковских уровней энергии иона  $\text{Tm}^{3+}$  (основной терм  ${}^3\text{H}_6$  ( $J = 6$ )) от величины магнитного поля  $H_0$ , перпендикулярного кристаллографической оси  $c$ , показана на рис.1. При гелиевых температурах магнитные свойства ионов будут определяться нижними уровнями – немагнитным синглетом  $|g\rangle$  и расщепленным сильным магнитным полем первым возбужденным дублетом  $|d_{1,2}\rangle$  (рис.2). Возможные магнитные переходы и квадраты соответствующих им матричных

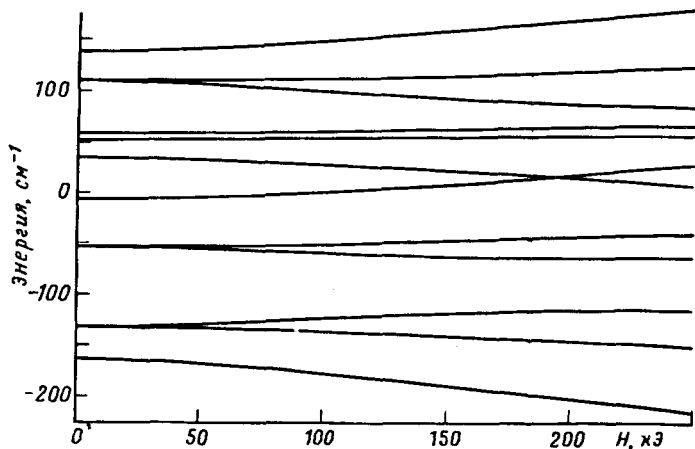


Рис.1. Зависимость штарковских уровней энергии иона  $\text{Tm}^{3+}$  (основной терм  ${}^3\text{H}_6$  ( $J = 6$ )) в этилсульфате туглия от величины внешнего магнитного поля, направленного перпендикулярно кристаллографической оси  $c$

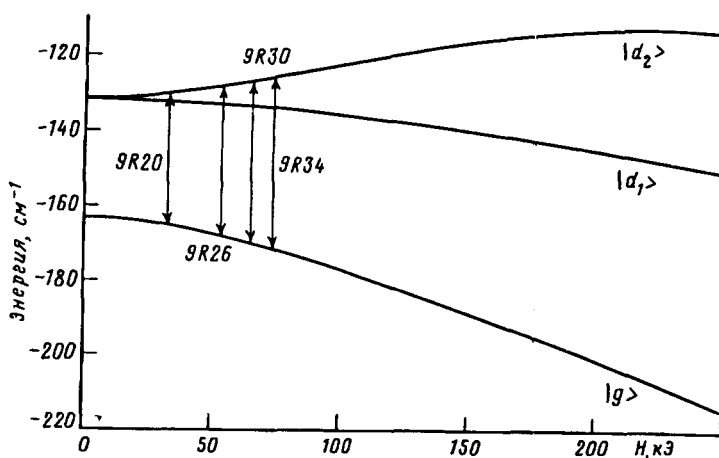


Рис.2. Низкие уровни энергии иона  $\text{Tm}^{3+}$  в этилсульфате туглия в сильных магнитных полях и возможные переходы ЭПР субмиллиметрового диапазона (пояснения см. в тексте)

элементов приведены ниже (матричные элементы для переходов  $|g\rangle \rightarrow |d_1\rangle$  равны нулю в магнитных полях до 250 кЭ):

- для лазерной линии газа метилфлюорида  $\text{CH}_3\text{F}$  субмиллиметрового диапазона 9R30 с частотой  $43,3 \text{ см}^{-1}$  и мощностью импульса  $10400 \text{ мкДж}$  [4] резонансное поле для перехода  $|g\rangle \rightarrow |d_2\rangle$  составляет  $63,97 \text{ кЭ}$  и квадрат матричного элемента  $|\langle g|J_x|d_2 \rangle|^2 = 10,8$ ;
- для линии 9R26 ( $39,9 \text{ см}^{-1}$ ,  $9500 \text{ мкДж}$ ) поле равно  $53,16 \text{ кЭ}$ ,  $|\langle g|J_x|d_2 \rangle|^2 = 12,5$ ;
- для линии 9R34 ( $46,6 \text{ см}^{-1}$ ,  $5800 \text{ мкДж}$ ) поле равно  $73,44 \text{ кЭ}$ ,  $|\langle g|J_x|d_2 \rangle|^2 = 9,6$ ;
- для линии 9R20 ( $34,7 \text{ см}^{-1}$ ,  $5700 \text{ мкДж}$ ) поле равно  $32,43 \text{ кЭ}$ ,  $|\langle g|J_x|d_2 \rangle|^2 = 16,0$ ;

Очевидно, что линия ЭПР, соответствующая переходу  $|g\rangle \rightarrow |d_2\rangle$ , будет иметь сверхтонкую структуру, состоящую из двух линий (100% изотоп  ${}^{169}\text{Tm}$  имеет ядерный спин  $I = 1/2$ ). Первым шагом на пути реализации предложенного метода должно быть наблюдение ЭПР на ионах  $\text{Tm}^{3+}$  в высоких магнитных полях ( $> 50 \text{ кЭ}$ ). В отличие от обычного солид-эффекта, где

насыщение линии ЭПР примесных парамагнитных центров осуществляется на крыле, в нашем случае насыщение должно проводиться на одной из компонент сверхтонкой структуры. Кроме того, в предлагаемом методе не требуется выполнение условий на соотношение между шириной линии ЭПР парамагнитных центров и резонансной частоты ядерных спинов [1,2].

5. При регистрации ядерной поляризации тулия в рассматриваемом случае нужно иметь в виду, что парамагнитный сдвиг с ростом приложенного магнитного поля  $H_0$  уменьшается вследствие увеличения расщепления между основным и возбужденными уровнями.

Отметим также, что поляризация ядер тулия может быть передана другим ядрам диамагнитных атомов кристалла, так как эффективное гиromагнитное отношение ядер  $^{169}\text{Tm}$  зависит от ориентации магнитного поля [3] и в определенных ориентациях происходит процесс кросс-релаксации. В этом смысле ядра жидкого гелия-3, находящегося в контакте с кристаллической поверхностью ван-флековского парамагнетика, принципиально не отличаются от упомянутых выше ядер диамагнитных атомов. За счет процессов переноса намагниченности, существование которых продемонстрировано Ричардсоном и сотрудниками [7], поляризация ядер тулия может быть передана ядрам гелия-3, адсорбированным на поверхности кристалла, а затем и ядрам жидкого гелия. Этот процесс будет наиболее эффективным и в условиях резонансной магнитной связи, обнаруженной в [8].

6. В заключение еще раз подчеркнем необходимость применения высоких магнитных полей. С одной стороны, в этих условиях практически замораживаются процессы ядерной спин-решеточной релаксации. С другой стороны, сильные магнитные поля необходимы для создания резонансных условий для ЭПР ван-флековских ионов.

Авторы выражают признательность Д.М.Ли, Ю.М.Бунькову и Ж.Вермулену за полезные обсуждения. Один из авторов (М.С.Т.) благодарен коллективу CNRS-CRTBT (Grenoble) за предоставленную возможность проведения части исследований данной работы.

- 
1. A.Abragam and M.Goldman, Rep. Prog. Phys. **41**, 395 (1978).
  2. В.А.Ацаткин, *Динамическая поляризация ядер в твердых диэлектриках*, М.: Наука, 1980.
  3. Л.К.Аминов, М.А.Теплов, УФН **147**, 49 (1985).
  4. C.T.Gross, J.Kiess, A.Mayer, and F.Keilmann, IEEE J. Quantum Electron. **QE-23**, 377 (1987).
  5. С.А.Альтшулер, А.А.Антипов, Р.М.Рахматуллин и др., Письма в ЖЭТФ **33**, 633 (1981).
  6. Л.К.Аминов, А.А.Кудряшов, М.С.Тагиров, М.А.Теплов, ЖЭТФ **86**, 1791 (1984).
  7. F.W.van Keuls, R.W.Singerman, and R.C.Richardson, J. Low Temp. Phys. **96**, 103 (1994).
  8. А.В.Егоров, Ф.Л.Аухадеев, М.С.Тагиров, М.А.Теплов, Письма в ЖЭТФ **39**, 480 (1984).